
ГЕНЕТИКА РАЗВИТИЯ

УДК 575.16:581.44:573.22

НОВЫЙ ДЕЛЕЦИОННЫЙ МУТАНТ *apetala1-20* *Arabidopsis thaliana*¹

© 2008 г. У. Н. Ондар, Ч. Х. Ву*, Т. А. Ежова*

Тувинский государственный университет

667000 Кызыл, ул. Ленина, д. 36

Институт общей генетики им. Н.И. Вавилова РАН

119991 Москва, ул. Губкина, д. 3

*Московский государственный университет им. М.В. Ломоносова

119992 Москва, Ленинские горы, д. 1, стр. 12

E-mail: arabidopsis2004@mail.ru

Поступила в редакцию 19.03.08 г.

Окончательный вариант получен 05.05.08 г.

Идентифицирован новый делеционный аллель гена *APETALA1* (*API*), играющего важную роль в инициации цветения и развитии органов околоцветника у *A. thaliana* и кодирующего MADS-белок типа II. Выпадение у мутанта *ap1-20* семи аминокислот в консервативном районе К-домена приводит к существенной задержке цветения и к менее выраженному нарушению развития венчика, чем у аллелей *ap1-3* и *ap1-6* с низкой и средней экспрессивностью соответственно. В то же время у *ap1-20* в отличие от аллелей *ap1-3* и *ap1-6* выявлена существенная редукция тычинок. Эти данные свидетельствуют о том, что К-домен белка API может играть важную роль в инициации цветения и регуляции экспрессии генов В-класса, контролирующих развитие тычинок.

Ключевые слова: развитие цветка, ген *APETALA1*, мутанты, *Arabidopsis thaliana*.

Ген *APETALA1* (*API*) играет ключевую роль в инициации цветения у *A. thaliana*, активируя транскрипцию гена *LEAFY*, контролирующего развитие флоральных меристем (Irish, Sussex, 1990; Mandel et al., 1992; Weigel, Meyerowitz, 1994). Кроме того, гены *API* и *AP2* регулируют развитие околоцветника в соответствии с ABC-моделью морфогенеза цветка (Weigel, Meyerowitz, 1994). При нарушении активности гена *API* наблюдается задержка цветения; цветки мутантов *ap1* сохраняют признаки побегоподобности: вместо чашелистиков развиваются листья (брактеи), в пазухах которых формируются цветки второго порядка, которые в свою очередь могут образовывать цветки третьего порядка и т.д. Венчик у мутантов с высокой и средней экспрессивностью не развивается или состоит из листо- или тычинкоподобных органов (Irish, Sussex, 1990; Bowman et al., 1993).

Ген *API* кодирует MADS-белок типа II с доменами MADS, I, K и C. Анализ трансгенных растений, содержащих в геноме слитые гены разной конструкции, показал, что функциональная специфичность *API* определяется MADS- и I-доменами (Krizek, Meyerowitz, 1996). Роль K- и C-доме-

нов в функционировании белка API исследована пока недостаточно. Изучение мутаций в разных доменах белка API может способствовать лучшему пониманию его структурно-функциональной организации. Цель работы – изучение фенотипического проявления и молекулярной структуры мутантного аллеля *ap1-20* из коллекции кафедры генетики МГУ. Для сравнения использовали также мутанты *ap1-3* и *ap1-6* с низкой и средней экспрессивностью.

МАТЕРИАЛ И МЕТОДИКА

В работе использовали мутант линии K-200 из коллекции кафедры генетики МГУ с изменением структуры цветка (Янушкевич, 1985). Ранее были проведены скрещивания мутанта из этой линии с мутантом *ap1-1* (маркерная линия mm1R из коллекции Института генетики растений, Гатерслебен, Германия). Все гибриды F₁ и F₂ имели аномальные цветки, характерные для мутантов по гену *API*, т.е. был установлен аллелизм мутации из линии K-200 с мутацией *ap1-1*, и мутация была названа *ap1-20*.

Происхождение аллеля неизвестно, поэтому для описания его морфологии мутантную линию K-200 многократно скрещивали с растениями расты Dijon-M из линии K-1. В работе использовали

¹Работа поддержана Российским фондом фундаментальных исследований (проект № 07-04-01515а) и Федеральной целевой программой “Ведущие научные школы” (проект НШ-4202.2008.4).

также мутанты *ap1-3* и *ap1-6* из коллекции *Arabidopsis Biological Resource Centre* (ABRC). Растения выращивали в оранжерее и лабораторных установках при температуре 22–26°C. Для устранения влияния мутации *er* на фенотипы мутантов *ap1-3* и *ap1-6* (получены на основе линии *Lansberg erecta*) их скрещивали с расой *Dijon-M* и проводили отбор в потомстве поколений *F₂* и *F₃* высоких растений.

Морфометрическое описание цветков *ap1-3*, *ap1-6* и *ap1-20* проводили по мере их созревания на растении согласно критериям, принятым ранее для *A. thaliana* (Bowman et al., 1993), – отдельно для нижних цветков главного цветоноса (с 1-го по 5-й) и цветков, расположенных выше (6–10-е, в тексте названы верхними цветками). Для съемок использовали цифровой фотоаппарат “Minolta”, США. При изучении влияния мутаций на время зацветания рассматривали связанные с этим показателем признаки (число листьев розетки, число вегетативных узлов цветоноса и длину вегетативной части побега) у мутантов *ap1-3*, *ap1-6* и *ap1-20*.

Детальное исследование органов и тканей проводили с помощью микроскопа СЭМ S-405A (“Hitachi”, Япония). Материал фиксировали в 4%-ном глютаральдегиде на 0.025 M фосфатном буфере (pH 7.0) при температуре 4°C в течение 18 ч. Затем образцы опускали в 2%-ный осмий (OsO_4) на ночь, три раза промывали фосфатным буфером, обезвоживали серией спиртов возрастающей концентрации (30, 50, 70% – не более чем 10–15' и 80 и 96% – по два раза 30') и переносили далее в 100%-ный ацетон на 30'. Материал проводили через critical point dry (т.е. высушивали проведением возгонки жидкой фазы в газообразную при высоких давлениях и температуре). Структуры прикрепляли к столикам и напыляли смесью палладия и платины в ионном напылителе IB-3 (“Eiko”, Япония) слоем 15 нм.

Выделение ДНК проводили по известной методике (Dellaporta et al., 1983) с модификациями. Последовательности праймеров подбирали при помощи программы “Web primer” (<http://genome-www2.stanford.edu/SGB/web-primer>). Для проведения полимеразной цепной реакции (ПЦР) использовали полимеразы Taq и Pfu (в соотношении 1 : 100) (“Силекс”, Россия). Секвенирование последовательностей ПЦР-продуктов выполнено в Межинститутском центре коллективного пользования “Геном”.

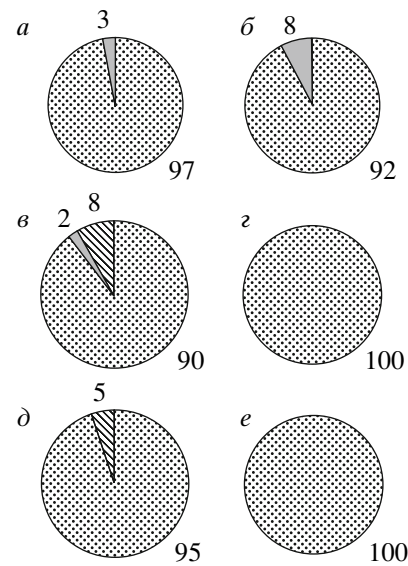


Рис. 1. Относительное содержание органов разного типа в наружной мутовке нижних (a, c, d) и верхних (b, e, f) цветков мутантов *ap1-6* (a, b), *ap1-3* (c, e) и *ap1-20* (d, f), %. (▨) – листья и брактеи, (█) – плодолистико-подобные листья и брактеи, (▨▨) – филаменты.

РЕЗУЛЬТАТЫ

Морфологические особенности мутантных растений *ap1-20*. Как и другие аллельные мутанты, *ap1-20* формировал фертильные цветки с нарушениями структуры околоцветника – изменением типа органов и уменьшением их числа. Основным типом органов в наружной мутовке, где у растений дикого типа развиваются чашелистики, у мутанта *ap1-20* были листоподобные органы, которые составляли от 95 до 100% от всех органов внешней мутовки (рис. 1; 2, a–г). В отличие от чашелистиков листоподобные органы характеризовались задержкой старения и не опадали даже после развития стручка (рис. 2, б–г). На листоподобных органах (как и на листьях розетки и стебля) обнаружены вильчатые трихомы (чашелистики лишены трихом или имеют простые трихомы) (рис. 2, е, ж). Листоподобные органы мутанта *ap1-20* часто показывали химерное строение: наряду с типичными для листьев эпидермальными клетками они имели участки с продолговатыми исчерченными клетками, характерными для чашелистиков (рис. 2, д).

В наружной мутовке цветков мутантов *ap1-3* и *ap1-6* чашелистики также не развивались, и преобладали листоподобные органы (рис. 1), кроме того, здесь обнаружены филаменты (8% от всех органов в нижних цветках *ap1-3*) и плодолистико-подобные листья, а также и брактеи (3 и 8% в нижних и верхних цветках *ap1-6* соответственно, рис. 1). Для всех

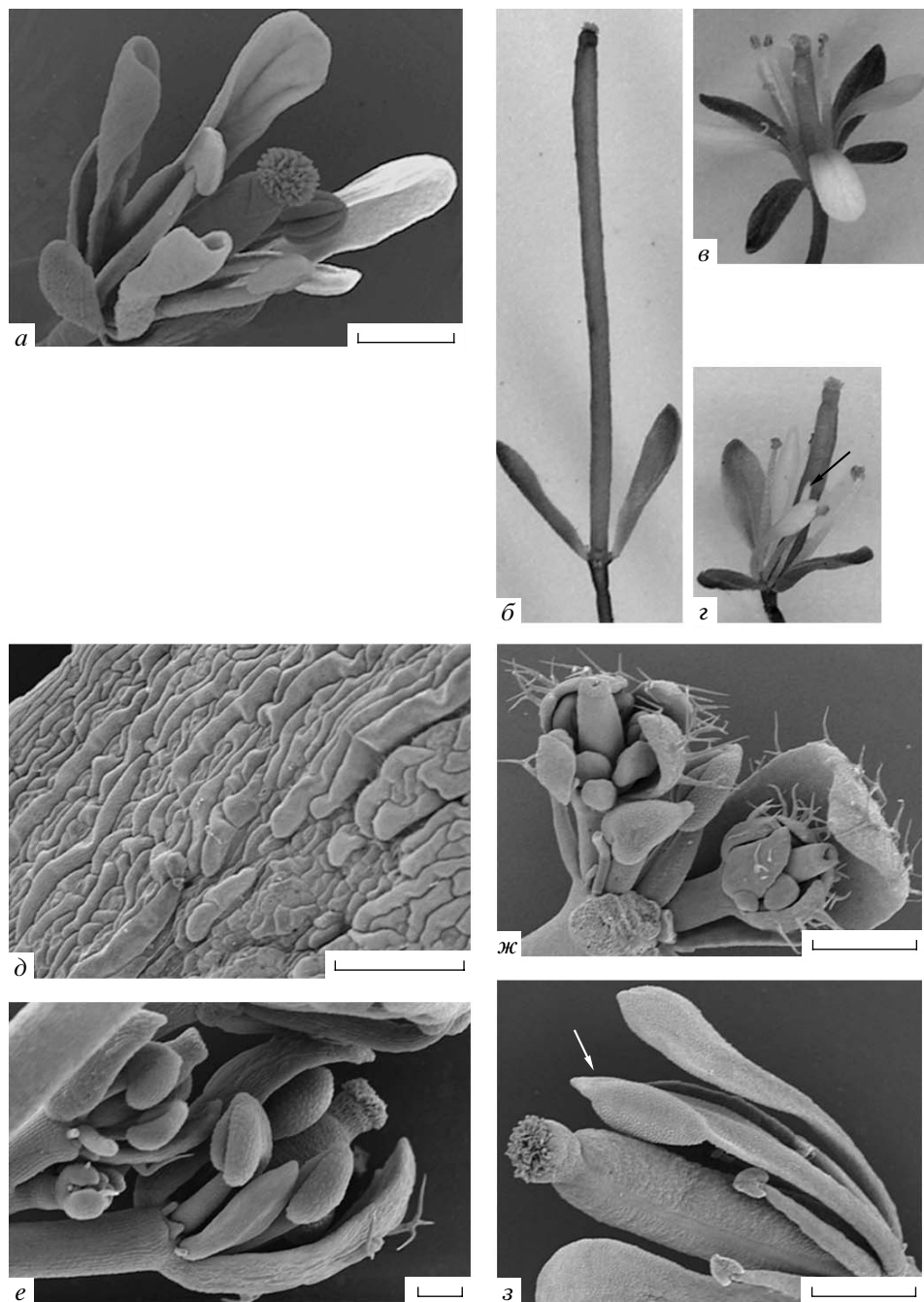


Рис. 2. Цветки мутанта *ap1-20*.

Цветки дикого типа (а) и с одного растения мутанта *ap1-20* разного возраста (с 1-го по 3-й в соответствии с порядком распускания на главном цветоносе) (б – г): в 1-м цветке видны два нестареющих органа и зрелый стручок (б); во 2-м – четыре нестареющих органа, четыре лепестка, шесть тычинок и один пестик (г); в 3-м – три нестареющих органа, два лепестка и один филаментоподобный лепесток (→), четыре тычинки и один пестик (г);

д – з – электронно-микроскопические изображения: д – эпидеральных клеток наружной части листоподобного органа мутанта, е – соцветия мутанта с молодыми цветками и вильчатыми трихомами на листоподобных органах наружной мутовки, ж – двух цветков второго порядка, развивающихся в пазухах листоподобных органов цветка первого порядка, гинеций цветка первого порядка удален; на переднем плане видны филамент и две тычинки цветка первого порядка, одна тычинка удалена, на заднем плане – два листоподобных органа с вильчатыми трихомами, в пазухах которых развиваются новые цветки; з – цветка мутанта с нормальным гинецием, двумя нормальными лепестками, одной лепестко-тычинкой (→) и двумя редуцированными тычинками. Масштаб: а – 600, д – 120, е – 100, ж, з – 400 мкм.

мутантов характерно уменьшение числа органов внешней мутовки. Вместо четырех органов (частистиков у дикого типа) у *ap1-3* и *ap1-6* развивается в среднем менее одного органа (от 76 до 85% органов редуцировано, таблица²). У *ap1-20* в нижних цветках чаще развивалось по два органа, а в верхних – по одному (редуцировано 59 и 74% органов, таблица). Изредка встречались цветки с тремя–четырьмя органами (рис. 2, в, г). В пазухах листоподобных органов у *ap1-20*, как и у других мутантов, развивались цветки следующего порядка (рис. 2, ж), причем среднее число цветков, приходящихся на одну цветоножку, у мутанта *ap1-20* выше, чем у *ap1-3* и *ap1-6* (таблица). Этот факт может быть связан с менее значимой редукцией числа органов внешней мутовки у мутанта *ap1-20* (таблица).

Существенная редукция органов наблюдалась и в мутовке II, причем уровень редукции был примерно одинаковым у всех мутантов (таблица). В то же время выявлена специфичность по типу развивающихся органов: у мутанта *ap1-3* до 33% органов (в верхних цветках) развиваются как лепестки, а 30–67% – как филаменты (в нижних и верхних цветках соответственно). В нижних цветках *ap1-3* 38% органов представлены тычинками, а 28% – тычинкоподобными лепестками (рис. 3). Тычинки и тычинкоподобные органы (лепестки и листья) – основной тип органов в цветках мутанта *ap1-6* (рис. 3). У мутанта *ap1-20* в отличие от *ap1-3* и *ap1-6* тычинки во второй мутовке не развивались. Лишь 2–15% органов в верхних и нижних цветках *ap1-20* соответственно развивались как тычинкоподобные лепестки и наряду с типичными для лепестков эпидермальными клетками содержали ткани тычинок (рис. 2, з; 3). Основным типом органов являлись узкие и филаментоподобные лепестки (рис. 2, в, г); такие лепестки встречались в 98 и 64% случаев в нижних и верхних цветках соответственно (рис. 3, д, е). В верхних цветках 6% органов представлены лепестками обычной формы (рис. 3, е).

По выявленной у *ap1-20* тенденции к сохранению нормального типа органов венчика (наличию лепестков и отсутствию тычинок в венчике) эту мутацию можно отнести к мутациям с низкой экспрессивностью. Нетипичным для мутации с низкой экспрессивностью является лишь обнаруженная у *ap1-20* высокая степень редукции числа тычинок в мутовке III (в пять–семь раз выше, чем у *ap1-6*, и в три–четыре раза выше, чем у *ap1-3*,

² Полученные в нашей работе количественные характеристики строения цветка у мутантов *ap1-3* и *ap1-6* существенно отличаются от приведенных ранее (Bowman et al., 1993) большей степенью редукции органов и экспрессивности мутантных признаков, что связано с другим генетическим фоном и иными условиями выращивания растений.

Число цветков на цветоножку и доля редуцированных органов в мутовках I–IV нижних/верхних цветков дикого типа и мутантов *ap1-6*, *ap1-3* и *ap1-20* *A. thaliana*

Линия	Число цветков на цветоножку	Редуцированные органы в мутовке, %			
		I	II	III	IV
Dijon-M	1.0/1.0	0/0	0/0	0.5/0.3	0/0
<i>ap1-6</i>	2.52/2.6	82/80.5	85/83	6.7/7.0	1.0/0.5
<i>ap1-3</i>	2.94/1.2	76/85	73.5/85	13.3/10	0*/0
<i>ap1-20</i>	4.2/2.6	59/73.9	79/80.7	37/48.5	0*/0

Примечания: для всех линий, кроме *ap1-20*, анализировали по 50 нижних и верхних цветков (для *ap1-20* – 44 верхних цветка); * в нижних цветках изредка наблюдали развитие дополнительных плодолистиков (менее 1% у *ap1-20* и около 2% – у *ap1-3*).

таблица). У мутантов *ap1-3* и *ap1-6* наблюдали лишь незначительное снижение числа тычинок (от 7 до 13% редуцированных органов, таблица), которое можно объяснить влиянием генетиче-

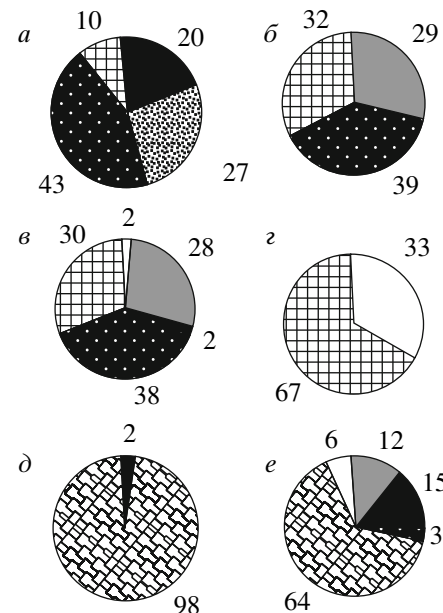


Рис. 3. Относительное содержание органов разного типа во второй мутовке нижних (а, в, д) и верхних (б, г, е) цветков мутантов *ap1-6* (а, б), *ap1-3* (в, г) и *ap1-20* (д, е), %. (■) – лепестки, (□) – лепесткоподобные листья, (■) – тычинкоподобные листья, (▨) – тычинки, (▨) – филаменты, (▨) – узкие и филаментоподобные лепестки.

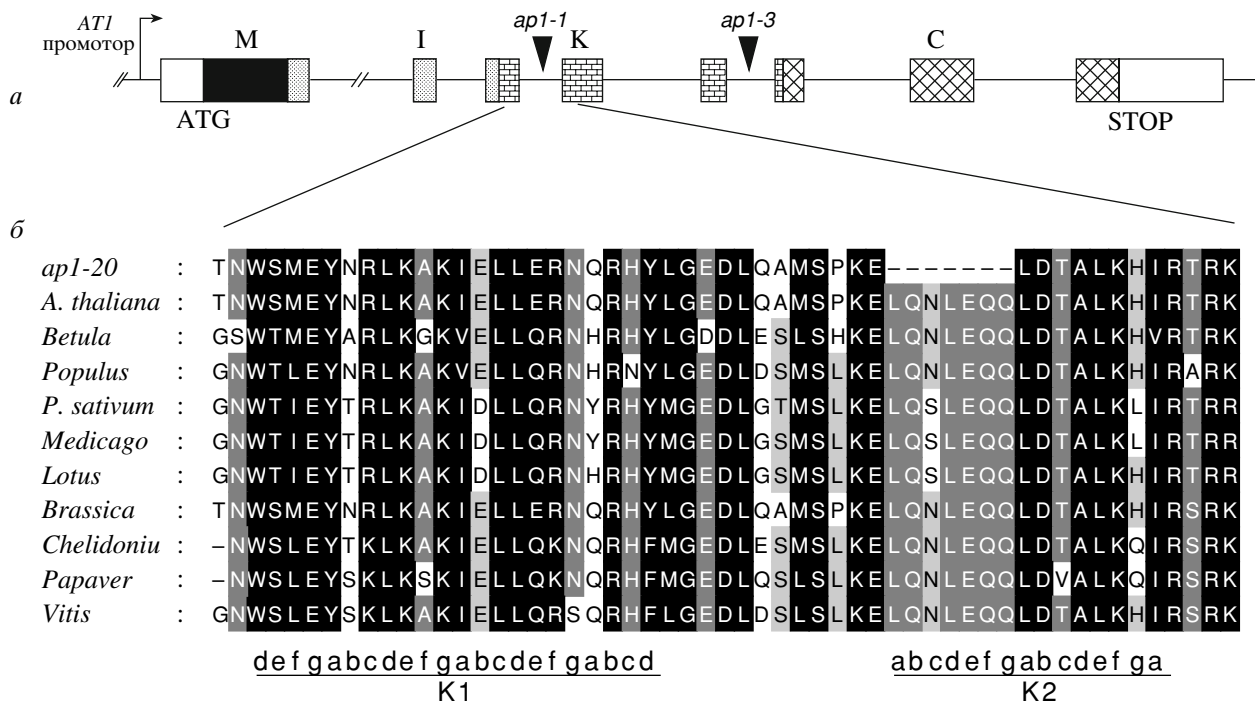


Рис. 4. Структура MADS-содержащего гена *AP1* (*a*) и фрагмент множественного выравнивания последовательностей аминокислот белков мутанта *ap1-20*, дикого типа *A. thaliana* и других растений (*b*).

Разными цветами указаны участки гена, кодирующие разные домены белка MADS (M), I, K и C, (▼) – места локализации мутаций *ap1-1* и *ap1-3*; (-----) – места доменов K1 и K2 с 7-валентными повторами (abcdefg)_n; у мутанта *ap1-20* видна делеция размером в семь аминокислот в домене K2.

ского фона расы *Dijon-M* (среднее число тычинок в цветках расы *Dijon-M* составляет не 6, а 5.4). Существенных изменений типа органов мутовок III и IV у всех мутантов по сравнению с диким типом не наблюдали. В то же время у *ap1-20* наряду с фертильными тычинками нормальной морфологии (рис. 2, *в*, *г*, *е*) иногда наблюдали и недоразвитые (рис. 2, *з*). Отмечено также, что у *ap1-20* и *ap1-3* изредка наблюдается развитие трехплодолистиковых стручков, напоминающих булавовидные стручки мутантов *clv*.

Мутант *ap1-20* характеризуется более поздним зацветанием по сравнению с растениями дикого типа расы *Dijon-M*. В условиях длинного дня у него наблюдали увеличение числа листьев розетки (с 7.5 ± 0.5 у дикого типа до 10 ± 1.7 – у мутанта *ap1-20*). Отмечено также увеличение числа узлов и длины вегетативной части цветоноса (4.4 ± 1.7 и 15.9 ± 2.4 соответственно у дикого типа, 5.0 ± 1.0 и 19.0 ± 1.5 – у мутанта *ap1-20*), хотя эти различия недостоверны. Первые цветки у мутанта появлялись на 7 сут позже, чем у дикого типа, и на 2–4 сут позже, чем у мутантов *ap1-3* и *ap1-6*. В отличие от растений дикого типа и мутантов *ap1-3* и *ap1-6* растения *ap1-20* имели узкие листья.

Молекулярная структура аллеля *ap1-20*. Для выяснения причины специфики фенотипического проявления мутации *ap1-20* провели изучение нуклеотидной последовательности кДНК. В районе, соответствующем консервативной области кератиноподобного К-домена *ap1-20*, выявлена делеция длинной 21 п. н., вызывающая выпадение в начале района K2 семи аминокислот, входящих в состав одного из 7-валентных повторов (abcdefg)_n, формирующих α -спираль (рис. 4). Множественное выравнивание аминокислотных последовательностей мутанта *ap1-20* и дикого типа из других видов растений показало, что этот участок является высококонсервативным (рис. 4). Очевидно, что выявленная делеция должна оказывать существенное влияние на функцию гена *AP1*.

ОБСУЖДЕНИЕ

Основными функциями гена *AP1* являются контроль перехода растений на репродуктивную стадию развития и регуляция развития чашелистиков и лепестков. Как и у других аллельных мутантов, у *ap1-20* наблюдали нарушение обоих процессов, однако выявлена и специфика прояв-

ления этой делеционной мутации. По времени зацветания аллель *ap1-20* характеризуется большей экспрессивностью, чем аллели *ap1-3* и *ap1-6*. В то же время по особенностям развития венчика аллель *ap1-20* характеризуется меньшей экспрессивностью мутантных признаков, чем *ap1-3* и *ap1-6*, которые по фенотипическому проявлению относят к аллелям с низкой и средней экспрессивностью соответственно (Bowman et al., 1993).

Более выраженное сохранение типа органов венчика у мутанта *ap1-20* (развитие лепестков и отсутствие тычинкоподобных органов), по-видимому, можно объяснить тем, что мутация не вызывает нарушения активности доменов MADS и I, которые наиболее значимы для определения функциональной специфичности белка AP1 (Krizek, Meyerowitz, 1996).

В отличие от мутантов *ap1-3* и *ap1-6*, у которых развитие репродуктивных органов практически не нарушено, аллель *ap1-20* характеризуется значительной редукцией числа тычинок. У других аллельных мутантов нарушения развития органов третьей мутовки также не наблюдали. Лишь у мутанта *ap1-1* с высокой экспрессивностью мутантного признака отмечена некоторая редукция тычинок (Bowman et al., 1993). Ранее показано, что белок AP1, содержащий MADS-домен, связывается с промотором гена *AP3*, активируя его экспрессию (Hill et al., 1998; Tilly et al., 1998). Можно предполагать, что существенная редукция числа тычинок и органов видоизмененного околоцветника у мутанта *ap1-20* может быть связана с нарушением этой функции белка AP1. Делеция 21 нуклеотида в аллеле *ap1-20* приводит к выпадению семи аминокислот в высококонсервативном районе K2 К-домена, который предположительно участвует в белок-белковых взаимодействиях (Yang et al., 2003). В делецированный участок входят два гидрофобных лизиновых остатка, которые, по результатам исследований гомологов AP1 риса, играют важную роль во взаимодействии с другими белками (Moon et al., 1999). По-видимому, для эффективной регуляции транскрипции гена *AP3* белок AP1 должен взаимодействовать (при участии домена K2) с другим белковым корегулятором. Следует отметить, что мутанты *ap1-1* и *ap1-3* также имеют изменения в районе К-домена (изменения нуклеотидной последовательности гена *AP1* у мутанта *ap1-6* не исследовали). У мутантов *ap1-1* и *ap1-3* выявлены нарушения в акцепторных сайтах сплайсинга. У *ap1-3* мутация произошла в 5-м инtronе (Mandel et al., 1992; рис. 4), что, по-видимому, может нарушать структуру са-

мого терминального конца района K3 (всего три аминокислоты) К-домена, поэтому такая мутация может приводить лишь к незначительным нарушениям функции К-домена. У *ap1-1* мутация произошла в 3-м инtronе (Mandel et al., 1992; рис. 4). Можно предполагать, что у мутантов *ap1-1* полностью нарушена структура районов K2 и K3, но частично сохраняется функция района K1 К-домена. Редукция числа органов третьей мутовки у аллелей с нарушением функции К-домена указывает на его важную роль в функционировании *AP1* как регулятора гена В-класса *AP3*.

Авторы благодарят Г.Н. Давидовича и А.Г. Богданова за помощь в получении фотоизображений растений.

СПИСОК ЛИТЕРАТУРЫ

- Янушкевич С.И. Использование арабидопсис в практических занятиях по общей генетике. М.: Изд-во МГУ, 1985. 62 с.
- Bowman J.L., Alvarez J., Weigel D. et al. Control of flower development in *Arabidopsis thaliana* by *APETALA1* and interacting genes // Development. 1993. V. 119. P. 721–743.
- Dellaporta S.L., Wood J., Hicks J.B. A plant DNA minipreparation: version II // Plant Mol. Biol. 1983. Rep. 1. P. 19–21.
- Hill T.A., Day C.D., Zondlo S.C. et al. Discrete spatial and temporal cis-acting elements regulate transcription of the *Arabidopsis* floral homeotic gene *APETALA3* // Development. 1998. V. 125. P. 1711–1721.
- Irish V.F., Sussex I.M. Function of the *apetala-1* gene during *Arabidopsis* floral development // Plant Cell. 1990. V. 2. P. 741–753.
- Krizek B.A., Meyerowitz E.M. Mapping the protein regions responsible for the functional specificities of the *Arabidopsis* MADS domain organ-identity proteins // Plant Biol. 1996. V. 93. P. 4063–4070.
- Mandel M.A., Gustafson-Brown C., Savidge B. et al. Molecular characterization of the *Arabidopsis* floral homeotic gene *APETALA1* // Nature. 1992. V. 360. P. 273–277.
- Moon Y.-H., Kang H.-G., Jung J.-Y. et al. Determination of the motif responsible for interaction between the rice *APETALA1/AGAMOUS-LIKE9* family proteins using a yeast two-hybrid system // Plant Physiol. 1999. V. 120. P. 1193–1203.
- Tilly J.J., Allen D.W., Jack T. The CArG boxes in the promoter of the *Arabidopsis* floral organ identity gene *APETALA3* mediate diverse regulatory effects // Development. 1998. V. 125. P. 1647–1657.
- Weigel D., Meyerowitz E.M. The ABCs of floral homeotic genes // Cell. 1994. V. 78. P. 203–209.
- Yang Y., Fanning L., Gack T. The K domain mediates heterodimerization of the *Arabidopsis* floral organ identity proteins APETALA 3 and PISTILLATA // Plant J. 2003. V. 33. P. 47–59.

A New *Arabidopsis thaliana* Deletion Mutant *apetala1-20*

U. N. Ondar^{a,b}, H. T. Vuⁿ, and O. P. Soldatova

^a Moscow State University, Vorob'evy Gory, 119992 Russia

^b Vavilov Institute of General Genetics, Russian Academy of Sciences, ul. Gubkina 3, Moscow, 119991 Russia

^b Tyva State University, ul. Lenina 36, Kyzyl, 667000 Russia

e-mail: arabidopsis2004@mail.ru

Abstract—A new deletion allele of the *APETALA1* (*API*) gene encoding a type II MADS-box protein with the key role in the initiation of flowering and development of perianth organs has been identified in *A. thaliana*. The deletion of seven amino acids in the conserved region of the K domain in the *ap1-20* mutant considerably delayed flowering and led to a less pronounced abnormality in the corolla development compared to the *ap1-3* and *ap1-6* alleles with low and medium expression, respectively. At the same time, a considerable stamen reduction has been revealed in *ap1-20* as distinct from *ap1-3* and *ap1-6* alleles. These data indicate that the K domain of AP1 can be crucial for the initiation of flowering and expression regulation of B-class genes controlling stamen development.

Key words: flower development, *APETALA1* gene, mutants, *Arabidopsis thaliana*.